

Représentation des signaux et problèmes inverses

- 2

P.-A. Thouvenin

École Centrale Lille - CRIStAL UMR 9189 CNRS



- 1 Représentation des signaux et des images
 - Notion de représentation
 - Transformée de Fourier
 - Géométrie fonctionnelle, base d'atomes
 - Quelques découpages du plan temps-fréquence
- 2 Analyse temps-fréquence
 - Atomes temps-fréquence
 - Densité d'énergie
 - Transformée de Fourier à fenêtre
 - Implémentation numérique
 - Illustration sur des signaux sonores
 - Pour les images, passage en 2D (JPEG...)

$$\textcircled{1} \quad x(t) = \int_{-\infty}^{+\infty} X(\nu) e^{j2\pi\nu t} d\nu \iff X(\nu) = \int_{-\infty}^{+\infty} x(t) e^{-j2\pi\nu t} dt$$

$$\textcircled{2} \quad x(t) \in \mathbb{R} \iff X(-\nu) = X^*(\nu) \text{ (symétrie hermitienne)}$$

③ Théorème de Parseval-Plancherel :

$$\int_{-\infty}^{+\infty} x(t) y^*(t) dt = \int_{-\infty}^{+\infty} X(\nu) Y^*(\nu) d\nu$$

④ Théorème de Gabor : boîte d'Heisenberg, compromis temps-fréquence

$$\Delta t \Delta \nu \geq \frac{1}{4\pi}$$

⑤ En dimension 2 :

$$F(\nu_1, \nu_2) = \int_{\mathbb{R}} \int_{\mathbb{R}} f(x_1, x_2) e^{-j2\pi[\nu_1 x_1 + \nu_2 x_2]} dx_1 dx_2$$

- 1 Les exponentielles complexes sont fonctions propres des systèmes linéaires : pour un opérateur linéaire L ,

$$L[e^{j\omega t}] = H(\omega) \cdot e^{j\omega t}$$

- 2 Filtrage linéaire: $Y(\nu) = H(\nu) \cdot X(\nu) \Leftrightarrow y(t) = h * x(t)$

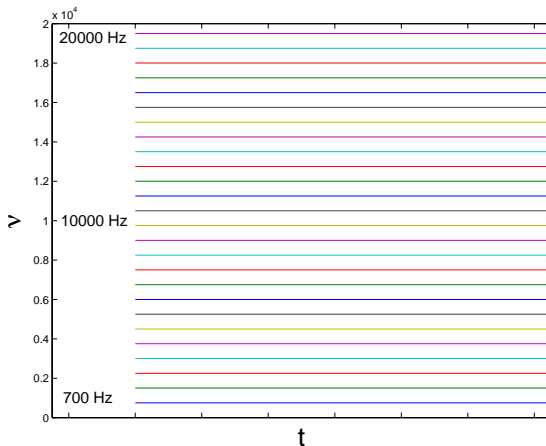
- 3 **Représentation en fréquence** : localisation en fréquence idéale,

MAIS aucune localisation en temps,

- 4 **Représentation temporelle** : localisation en temps idéale, (cf. $x(t_0) = \int \delta_{t_0}(u)x(u)du$),

MAIS aucune localisation en fréquence.

Découpage du plan temps-fréquence :



Principal inconvénient : pas de localisation en temps (espace).

Géométrie dans des espaces de fonctions

p.6

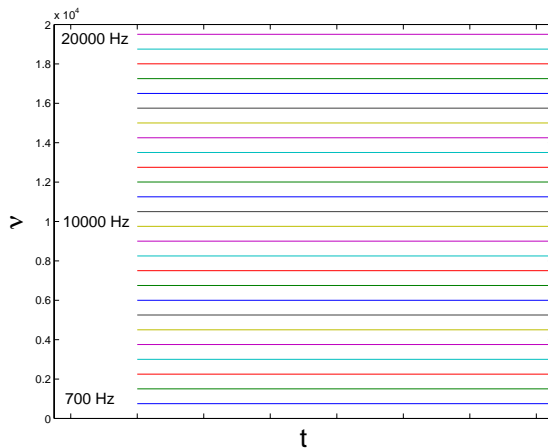
Produit scalaire, orthogonalité, bases de fonctions...

(cf. notion d'espace vectoriel normé, espace de Hilbert)

Bases : décomposition du plan temps-fréquence

p.7

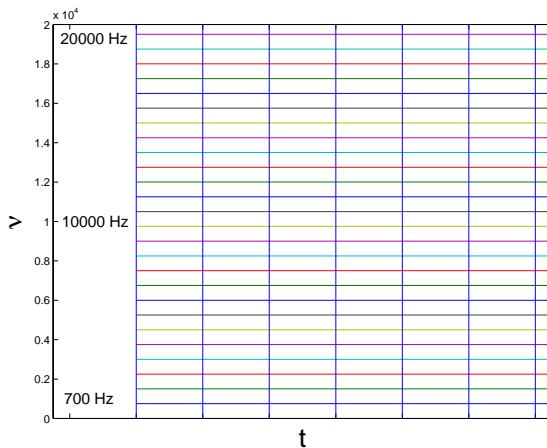
Short-time Transformée de Fourier (STFT, Gabor 1946)



Bases : décomposition du plan temps-fréquence

p.8

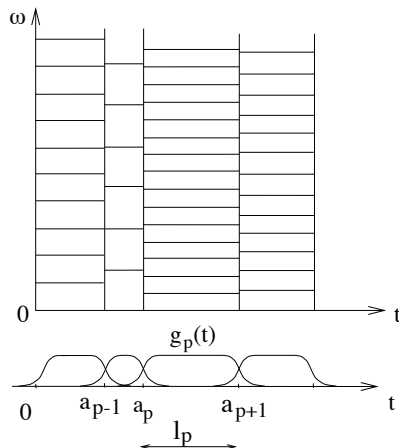
Short-time Transformée de Fourier (STFT, Gabor 1946)



Bases : décompositions du plan temps-fréquence

p.9

Atomes adaptatifs temps-fréquence (cf. MP3)

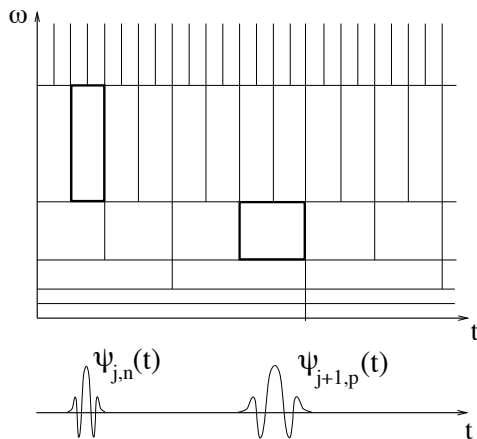


+++ Localisation en temps et en fréquence, adaptatif.

Bases : décompositions du plan temps-fréquence

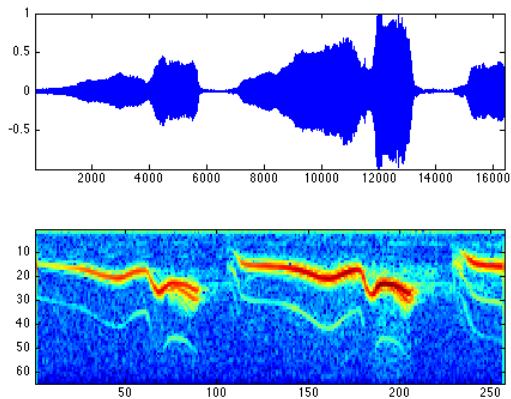
p.10

Transformées en ondelettes orthogonales

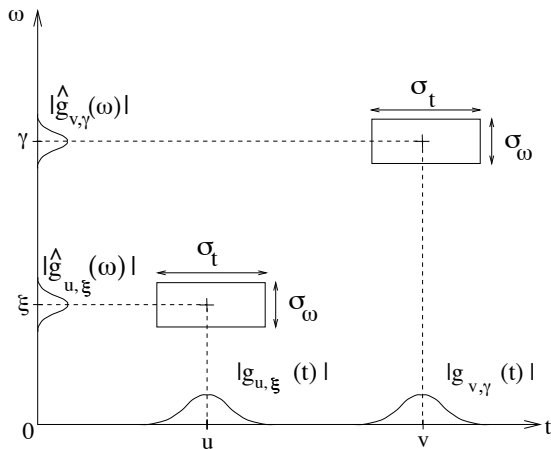


Localisation temps-fréquence & résolution : $\frac{\Delta\nu}{\nu} = Cst.$

- 1 Représentation des signaux et des images
 - Notion de représentation
 - Transformée de Fourier
 - Géométrie fonctionnelle, base d'atomes
 - Quelques découpages du plan temps-fréquence
- 2 Analyse temps-fréquence
 - Atomes temps-fréquence
 - Densité d'énergie
 - Transformée de Fourier à fenêtre
 - Implémentation numérique
 - Illustration sur des signaux sonores
 - Pour les images, passage en 2D (JPEG...)



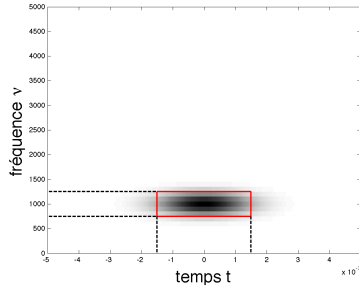
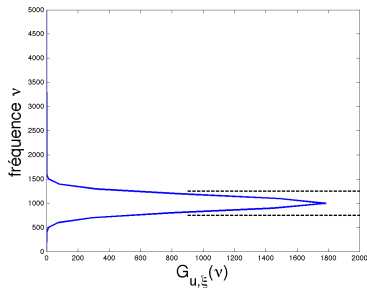
Spectrogramme du chant d'un merle



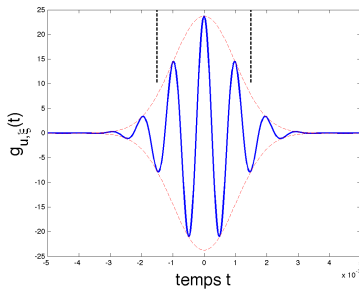
Construction de $g_{u,\xi}$:

oscillations à fréquence ξ pendant σ_t autour de $t = u$.

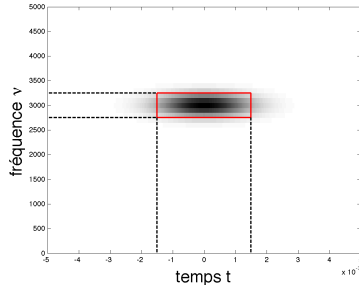
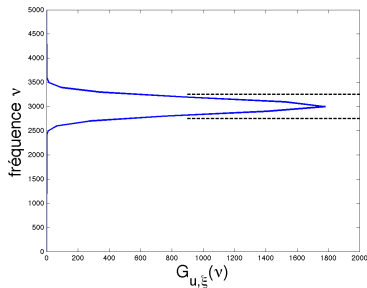
Atomes temps-fréquence : atomes de Gabor



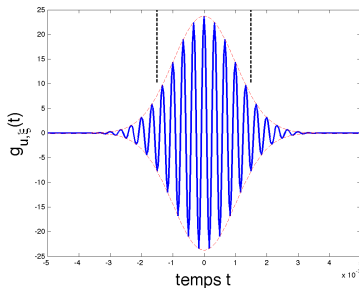
$$g_{u,\xi}(t) = e^{i\xi t} g(t - u)$$
$$g(t) = (\pi\sigma^2)^{-1/4} e^{-t^2/2\sigma^2}$$

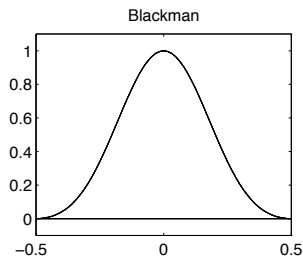
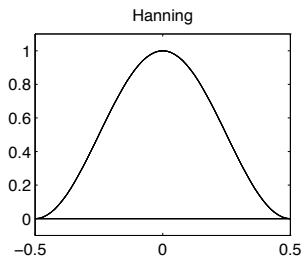
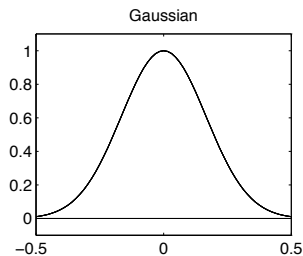
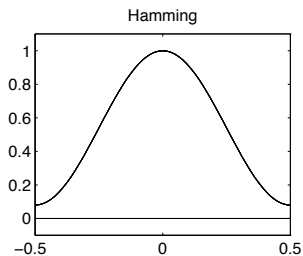


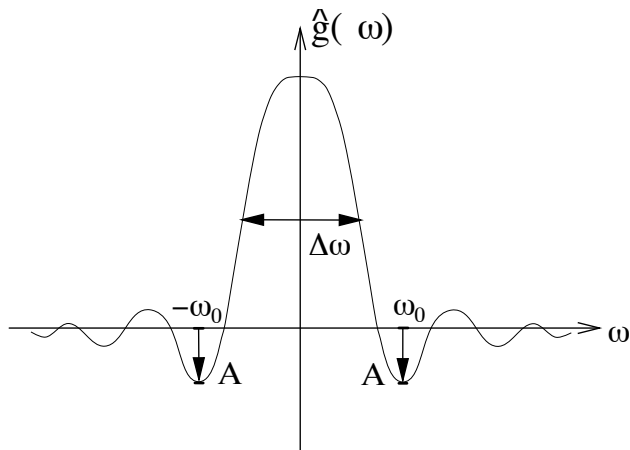
Atomes temps-fréquence : atomes de Gabor



$$g_{u,\xi}(t) = e^{i\xi t} g(t - u)$$
$$g(t) = (\pi\sigma^2)^{-1/4} e^{-t^2/2\sigma^2}$$



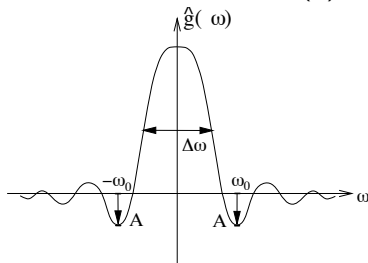


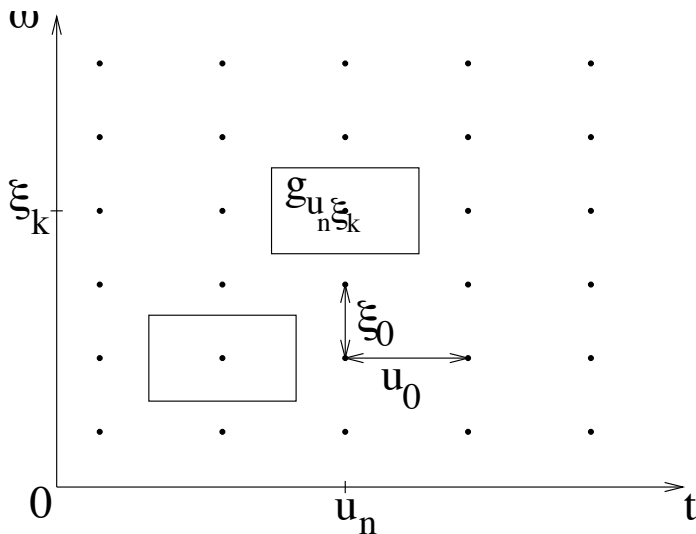


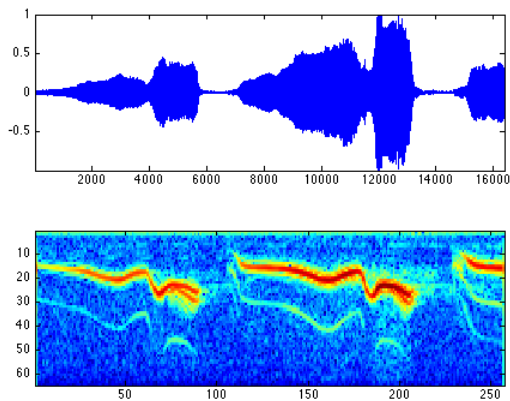
nom	$g(t)$	$\Delta\omega$	A	p
Rectangle	1	0,89	-13 dB	0
Hamming	$0,54 + 0,46\cos(2\pi t)$	1,36	-43 dB	0
Gaussienne	$\exp(-0,18t^2)$	1,55	-55 dB	0
Hanning	$\cos^2(\pi t)$	1,44	-32 dB	2
Blackman	$0,42 + 0,5 \cos(2\pi t) + 0,08\cos(4\pi t)$	1,68	-58 dB	2

Fenêtres à support dans $[-1/2, 1/2]$.

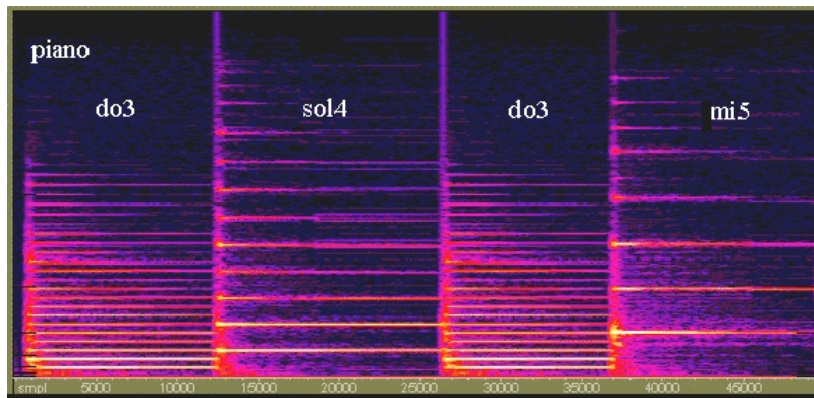
Ces fenêtres sont normalisées pour que $g(0) = 1$ mais $\|g\| \neq 1$.





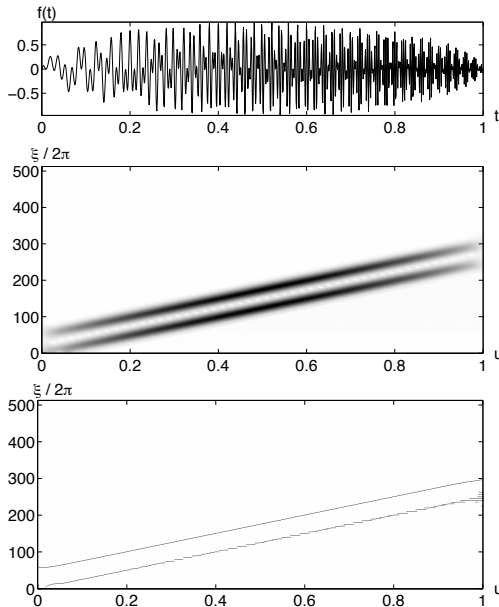


Spectrogramme du chant d'un merle

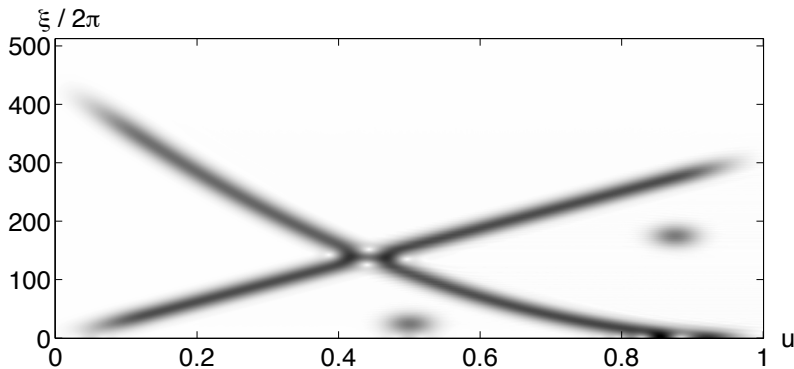
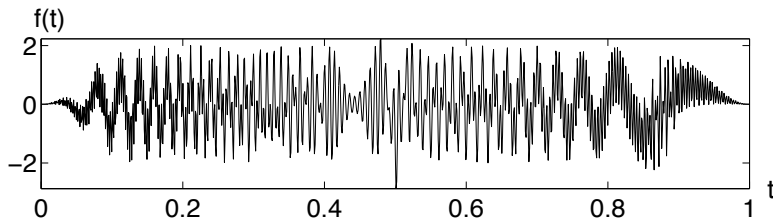


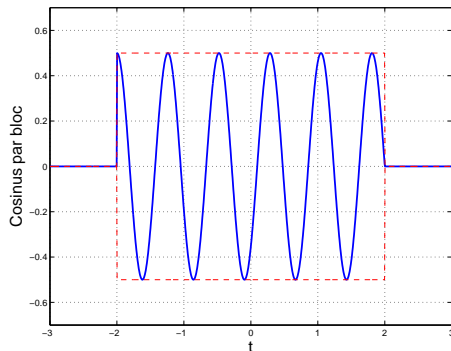
Spectrogramme d'une suite de notes jouées au piano

Combinaison de 2 sons (1)



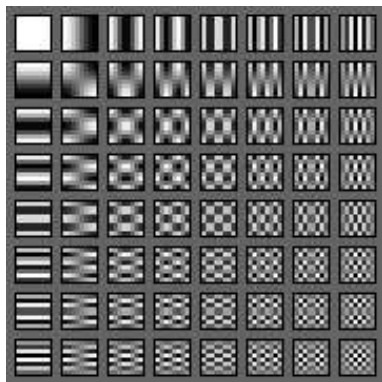
Combinaison de 2 sons (2)





$$\left\{ g_{p,k}(t) = \mathbb{I}_{[a_p, a_p + \ell_p]}(t) \frac{2}{\ell_p} \cos \left[\pi \left(k + \frac{1}{2} \right) \left(\frac{t - a_p}{\ell_p} \right) \right] \right\}_{p,k \in \mathbb{Z}}$$

motifs de base 8×8 :



$$\left\{ g_{k,j}[n, m] = \lambda_k \lambda_j \frac{2}{L} \cos \left[\frac{k\pi}{L} \left(n + \frac{1}{2} \right) \right] \cos \left[\frac{j\pi}{L} \left(m + \frac{1}{2} \right) \right] \right\}_{0 \leq k, j < L}$$

Cosinus par bloc 2D pour JPEG

Compression d'image

p.26



